

長岡技術科学大学大学院 学生会員 岩崎英治
長岡技術科学大学建設系 正会員 林 正

1. まえがき： 薄肉断面部材の有限変位場に関する論文は、数多く報告されているが、そり変位に関しては、何れの報告も線形である。本報告では、先に発表したりの空間曲線材の厳密な幾何量を用い、そり変位に関する偏微分方程式に対しては振動法を用いて、そり変位を求めた。解析では次の仮定を用いる。

1) 横断面形状は部材軸方向に一定とする。また、任意点の変位は断面剛の仮定に従う変位に、横断面に垂直な方向の変位を加えたものとする。

2) 薄肉断面のせん断ひずみによる変形は、サン・ブナンのねじりによる変形のみを考える。

3) 板厚方向の座標値 n の2次以上の項は省略する。

2. 座標系と変位前の幾何学量： 部材軸上の任意点Oを原点とする直交曲線座標 (x, y, z) と、板厚中心線上の任意点Cを原点とする曲線座標 (x, s, n) を用いる。ここに部材軸に沿ってx軸をとり、y, z軸を部材軸の法平面内に右手系になるようにとる。またs軸は板厚中心線に沿ってとりn軸は板厚中心線の法線方向に右手系になるようにとる。

空間曲線材としての幾何学量等の記号は、文献1) 2)を参照されたい。空間固定点 \bar{O} に対する薄肉断面内の任意点Pの位置ベクトル r は、

$$r = r_0 + y e_2 + z e_3 \quad (1)$$

点Pの座標系 (x, s, n) での共変基底ベクトル t_1, t_2, t_3 は、

$$\left. \begin{aligned} t_1 &= t_0 e_1 - x_1 z e_2 + x_1 y e_3, & t_2 &= (1-n/R) \cos \beta e_2 + (1-n/R) \sin \beta e_3 \\ t_3 &= -\sin \beta e_2 + \cos \beta e_3, & t_0 &= 1 - x_3 y + x_2 z \end{aligned} \right\} \quad (2)$$

3. 有限変位場： 薄肉断面内の任意点Pの変位 u_p は、仮定1)により、点Oの変位 u_0 、点Oに対する点Pの位置ベクトル r_p 、点Pでのそり変位 \tilde{u}_p と文献2)による回転行列 R を用いて、

$$u_p = u_0 + (R_0 - I) r_p + R_0 \tilde{u}_p \quad (3)$$

$$\left. \begin{aligned} \text{ここに, } u_p &= (u_p, v_p, w_p)^t, \quad u_0 = (u_0, v_0, w_0)^t \\ \tilde{u}_p &= (\tilde{u}_p, 0, 0)^t, \quad r_p = (0, y, z)^t \end{aligned} \right\} \quad (4)$$

変位後の点Pの位置ベクトル r^* は、

$$r^* = r_0 + y e_2 + z e_3 + \tilde{u}_p e_1 \quad (5)$$

変位後の点Pの基底ベクトル t_1^*, t_2^*, t_3^* は、

$$\left. \begin{aligned} t_1^* &= (t_0 + \hat{e}_0 + \frac{\partial \tilde{u}_p}{\partial x}) e_1^* + (-x_1^* z + x_3^* \tilde{u}_p) e_2^* + (x_1^* y - x_2^* \tilde{u}_p) e_3^* \\ t_2^* &= \frac{\partial \tilde{u}_p}{\partial s} e_1^* + (1-n/R) \cos \beta e_2^* + (1-n/R) \sin \beta e_3^*, \quad t_3^* = \frac{\partial \tilde{u}_p}{\partial n} e_1^* - \sin \beta e_2^* + \cos \beta e_3^* \end{aligned} \right\} \quad (6)$$

変位前後の基底ベクトルからグリーンのひずみテンソル e_{ij} は次式のようになる。

$$\left. \begin{aligned} e_{xx} &= \frac{1}{2} ((t_0 + \hat{e}_0)^2 - t_0^2 + (y^2 + z^2) ((x_1^*)^2 - x_1^2)) + (t_0 + \hat{e}_0) \frac{\partial \tilde{u}_p}{\partial x} - x_1^* (x_3^* z + x_2^* y) \tilde{u}_p \\ &+ \frac{1}{2} ((\frac{\partial \tilde{u}_p}{\partial x})^2 + ((x_2^*)^2 + (x_3^*)^2) \tilde{u}_p^2), \quad 2e_{xs} = (t_0 + \hat{e}_0) \frac{\partial \tilde{u}_p}{\partial s} + \frac{\partial \tilde{u}_p}{\partial x} \frac{\partial \tilde{u}_p}{\partial s} + (1-n/R) (r_s x_1^* + x_n^* \tilde{u}_p), \\ 2e_{nx} &= (t_0 + \hat{e}_0) \frac{\partial \tilde{u}_p}{\partial n} + \frac{\partial \tilde{u}_p}{\partial x} \frac{\partial \tilde{u}_p}{\partial n} + r_n x_1^* - x_n^* \tilde{u}_p, \quad e_{ss} = \frac{1}{2} (\frac{\partial \tilde{u}_p}{\partial s})^2, \quad e_{nn} = \frac{1}{2} (\frac{\partial \tilde{u}_p}{\partial n})^2, \quad 2e_{sn} = \frac{\partial \tilde{u}_p}{\partial s} \frac{\partial \tilde{u}_p}{\partial n} \end{aligned} \right\} \quad (7)$$

横断面でのひずみ e_{ss}, e_{nn}, e_{sn} には、そりによるひずみだけが現れている。

また、これらは変位の2次のオーダーであるから、以下では、 $e_{ss} = e_{nn} = e_{sn} = 0$ とおく。

式(7)のひずみは、曲線座標系 (x, s, n) で表されており、パラメータ x による座標軸と s 軸、 n 軸は直交していないため、局所デカルト座標系におけるひずみテンソル e_{ij} に変換する。この関係式は、

$$e_{xx} = \frac{e_{xx}}{t_0^2} - 2e_{xs} \frac{x_1 r_s}{t_0^2 (1-n/R)} - 2e_{nx} \frac{x_1 r_n}{t_0^2} \quad e_{xs} = \frac{e_{xs}}{t_0 (1-n/R)} \quad e_{nx} = \frac{e_{nx}}{t_0} \quad (8)$$

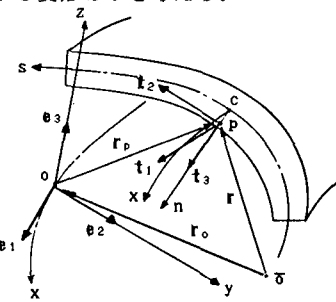


図-1. 座標系と位置ベクトル

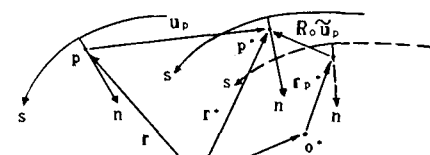


図-2. 変位ベクトル

4. そり変位: そり変位 \tilde{u}_n を $n = 0$ の近傍で n について級数展開し仮定3)を用いると、

$$\tilde{u}_n = \tilde{u}_0 + n\tilde{u}_1 \quad (9)$$

仮定2)と、そりに対する適合条件式は、次式のようになる。

$$\bar{\epsilon}_{xs} = 0 \quad (\text{開断面}) \quad \int \frac{\partial \tilde{u}_n}{\partial s} ds = 0 \quad (\text{閉断面}) \quad \epsilon_{nx} = 0 \quad (10)$$

式(7)の第2式を、式(8)の第2式に代入し、 $2\epsilon_{xs}$ を n に関して積分し、その積分値を \tilde{q} とおく。

ここで、そりの非線形項を無視すれば $\delta = 0$ 、考慮すれば $\delta = 1$ で、 $0 \leq \delta \leq 1$ の範囲で連続的に変化する振動パラメータ δ を導入する。文献3)参照。 $\bar{t}_o = 1 - x_3\bar{y} + x_2\bar{z}$

$$(T_o + \epsilon_o - \bar{x}_3\bar{y} + \bar{x}_2\bar{z}) \frac{\partial \tilde{u}_0}{\partial s} + \bar{r}_s \bar{x}_1 - \frac{\bar{t}_o}{t} \tilde{q} + \delta (x_n \cdot \tilde{u}_0 + \frac{\partial \tilde{u}_0}{\partial x} \frac{\partial \tilde{u}_0}{\partial s}) = 0 \quad (11)$$

u_0, \tilde{q} を δ に関して展開すると、

$$\tilde{u}_0 = \tilde{u}_{00} + \delta \tilde{u}_{01} + \delta^2 \tilde{u}_{02} + \dots, \quad \tilde{q} = \tilde{q}_{00} + \delta \tilde{q}_{01} + \delta^2 \tilde{q}_{02} + \dots \quad (12)$$

これを、式(11)に代入すると δ の任意性より $\tilde{u}_{00}, \tilde{u}_{01}, \dots$ に関する連立方程式が得られる。 δ の2次以上の項の係数は微小であると考えられるので、ここではこれを無視すると、

$$\left. \begin{aligned} (T_o + \epsilon_o - \bar{x}_3\bar{y} + \bar{x}_2\bar{z}) \frac{\partial \tilde{u}_{00}}{\partial s} + \bar{r}_s \bar{x}_1 - \frac{\bar{t}_o}{t} \tilde{q}_{00} &= 0 \\ (T_o + \epsilon_o - \bar{x}_3\bar{y} + \bar{x}_2\bar{z}) \frac{\partial \tilde{u}_{01}}{\partial s} - \frac{\bar{t}_o}{t} \tilde{q}_{01} + x_n \cdot \tilde{u}_{00} + \frac{\partial \tilde{u}_{00}}{\partial x} \frac{\partial \tilde{u}_{00}}{\partial s} &= 0 \end{aligned} \right\} \quad (13)$$

上式と、式(10)の第2式より、 $\tilde{u}_{00}, \tilde{u}_{01}$ が求まり、これよりそり変位 \tilde{u}_0 は、次の様になる。

$$\tilde{u}_0 = -\bar{x}_1 (\bar{w}_{00} - \bar{w}_{00} \epsilon_o + \bar{w}_{0y} \bar{x}_3 - \bar{w}_{0z} \bar{x}_2 - \bar{w}_{0x} \bar{x}_1 - \bar{w}_{00} \frac{dx_1}{dx}) \quad (14)$$

$$\begin{aligned} \text{ここで、 } \bar{w}_{00} &= \bar{w}_{000} + \bar{w}_{100}, \quad \bar{w}_{0x} = \bar{w}_{00x} + \bar{w}_{10x}, \quad \bar{w}_{0y} = \bar{w}_{00y} + \bar{w}_{10y}, \quad \bar{w}_{0z} = \bar{w}_{00z} + \bar{w}_{10z} \\ \bar{w}_{00} &= \bar{w}_{100}, \quad \bar{w}_{00x} = \bar{w}_{10x}, \quad \bar{w}_{00y} = \bar{w}_{10y}, \quad \bar{w}_{00z} = \int_0^s \left(\frac{\bar{r}_s}{t_o} - \frac{K_{00}}{t} \right) ds \\ \bar{w}_{00x} &= \int_0^s \left(\frac{\bar{r}_s}{t_o} - \frac{1}{t} (K_{00} + \frac{K_{00}}{t_o}) \right) ds, \quad \bar{w}_{00y} = \int_0^s \left(\frac{\bar{r}_s}{t_o} - \frac{1}{t} (K_{00} + \frac{K_{00}\bar{y}}{t_o}) \right) ds \\ \bar{w}_{00z} &= \int_0^s \left(\frac{\bar{r}_s}{t_o} - \frac{1}{t} (K_{00} + \frac{K_{00}\bar{z}}{t_o}) \right) ds, \quad \bar{w}_{100} = \int_0^s \left(\frac{K_{10}}{t_o} - \frac{x_n}{t_o} \bar{w}_{000} \right) ds \\ \bar{w}_{10x} &= \int_0^s \left(\frac{K_{10}}{t_o} + \frac{K_{10}}{t_o} - \frac{x_n}{t_o} (\bar{w}_{000} + \frac{\bar{w}_{000}}{t_o}) \right) ds, \quad \bar{w}_{10y} = \int_0^s \left(\frac{K_{10}}{t_o} + \frac{K_{10}\bar{y}}{t_o} - \frac{x_n}{t_o} (\bar{w}_{000} + \frac{\bar{w}_{000}\bar{y}}{t_o}) - \frac{\bar{w}_{000}}{t_o} \cos \beta \right) ds \\ \bar{w}_{10z} &= \int_0^s \left(\frac{K_{10}}{t_o} + \frac{K_{10}\bar{z}}{t_o} - \frac{x_n}{t_o} (\bar{w}_{000} + \frac{\bar{w}_{000}\bar{z}}{t_o}) - \frac{\bar{w}_{000}}{t_o} \sin \beta \right) ds \\ \bar{w}_{10f} &= \int_0^s \left(\frac{K_{10}}{t_o} - \frac{1}{t_o} (\frac{\bar{r}_s}{t_o} - \frac{K_{00}}{t}) \frac{\partial \bar{w}_{000}}{\partial x} \right) ds, \quad \bar{w}_{10g} = \int_0^s \left(\frac{K_{10}}{t_o} - \frac{1}{t_o} (\frac{\bar{r}_s}{t_o} - \frac{K_{00}}{t}) \bar{w}_{000} \right) ds \\ K_{00} &= \frac{H_o}{L_o}, \quad K_{0x} = \frac{H_x}{L_o} - \frac{H_o L_x}{L_o^2}, \quad K_{0y} = \frac{H_y}{L_o} - \frac{H_o L_y}{L_o^2}, \quad K_{0z} = \frac{H_z}{L_o} - \frac{H_o L_z}{L_o^2}, \quad K_{10} = \frac{M_o}{L_o}, \quad K_{1x} = \frac{M_x}{L_o} - \frac{M_o L_x}{L_o^2} \\ K_{1y} &= \frac{M_y}{L_o} - \frac{M_o L_y}{L_o^2}, \quad K_{1z} = \frac{M_z}{L_o} - \frac{M_o L_z}{L_o^2}, \quad K_{1f} = \frac{M_f}{L_o}, \quad K_{1g} = \frac{M_g}{L_o}, \quad L_o = \int_0^s \frac{ds}{t}, \quad L_x = \int_0^s \frac{\bar{y} ds}{t_o}, \quad L_y = \int_0^s \frac{\bar{z} ds}{t_o} \\ L_z &= \int_0^s \frac{\bar{z} ds}{t_o}, \quad H_o = \int_0^s \frac{\bar{r}_s}{t_o} ds, \quad H_x = \int_0^s \frac{\bar{r}_s}{t_o^2} ds, \quad H_y = \int_0^s \frac{\bar{r}_s}{t_o^2} ds, \quad H_z = \int_0^s \frac{\bar{r}_s}{t_o^2} ds, \quad M_o = \int_0^s \frac{x_n}{t_o} \bar{w}_{000} ds \\ M_x &= \int_0^s \frac{x_n}{t_o} (\bar{w}_{000} + \frac{\bar{w}_{000}}{t_o}) ds, \quad M_y = \int_0^s \left(\frac{x_n}{t_o} (\bar{w}_{000} + \frac{\bar{w}_{000}\bar{y}}{t_o}) + \frac{\bar{w}_{000}}{t_o} \cos \beta \right) ds, \quad M_g = \int_0^s \frac{1}{t_o} \left(\frac{\bar{r}_s}{t_o} - \frac{K_{00}}{t} \right) \bar{w}_{000} ds \\ M_z &= \int_0^s \left(\frac{x_n}{t_o} (\bar{w}_{000} + \frac{\bar{w}_{000}\bar{z}}{t_o}) + \frac{\bar{w}_{000}}{t_o} \sin \beta \right) ds, \quad M_f = \int_0^s \frac{1}{t_o} \left(\frac{\bar{r}_s}{t_o} - \frac{K_{00}}{t} \right) \frac{\partial \bar{w}_{000}}{\partial x} ds \end{aligned} \quad (15)$$

次ぎに、式(10)の第3式により、 \tilde{u}_1 を求める。 $x_s = x_2 \cos \beta + x_3 \sin \beta, x_n = -x_2 \sin \beta + x_3 \cos \beta$

$$2\epsilon_{nx} = \frac{1}{t_o} (1 - \frac{x_n}{t_o} n) ((T_o + \epsilon_o - \bar{x}_3\bar{y} + \bar{x}_2\bar{z}) \tilde{u}_1 + \frac{\partial \tilde{u}_0}{\partial x} \tilde{u}_1 + \bar{x}_1 \bar{r}_s - x_n \cdot \tilde{u}_0) + \frac{n}{t_o} \frac{\partial \tilde{u}_1}{\partial x} \tilde{u}_1 = 0 \quad (16)$$

上式で、—線の部分は省略し n の任意性より $\{\dots\} = 0$ として解くと、

$$\tilde{u}_1 = -\bar{x}_1 (\bar{w}_{10} - \bar{w}_{10} \epsilon_o + \bar{w}_{1y} \bar{x}_3 - \bar{w}_{1z} \bar{x}_2 - \bar{w}_{1x} \bar{x}_1 - \bar{w}_{10} \frac{dx_1}{dx}) \quad (17)$$

$$\text{ここで、 } \bar{w}_{10} = \frac{x_s \bar{w}_{00} + \bar{r}_n}{t_o}, \quad \bar{w}_{1x} = \frac{1}{t_o} (x_s (\bar{w}_{00} + \frac{\bar{w}_{00}}{t_o}) + \frac{\bar{r}_n}{t_o})$$

$$\bar{w}_{1y} = \frac{1}{t_o} (x_s (\bar{w}_{0y} + \frac{\bar{w}_{0y}}{t_o}) + \frac{\bar{r}_n \bar{y}}{t_o} + \bar{w}_{00} \sin \beta), \quad \bar{w}_{1z} = \frac{1}{t_o} (x_s (\bar{w}_{0z} + \frac{\bar{w}_{0z}}{t_o}) + \frac{\bar{r}_n \bar{z}}{t_o} - \bar{w}_{00} \cos \beta) \quad (18)$$

$$\bar{w}_{1f} = \frac{1}{t_o} (x_s (\bar{w}_{0f} - \frac{\bar{w}_{00} \partial \bar{w}_{00}}{\partial x}) - \frac{\bar{r}_n \partial \bar{w}_{00}}{\partial x}), \quad \bar{w}_{1g} = \frac{1}{t_o} (x_s (\bar{w}_{0g} - \frac{\bar{w}_{00}^2}{t_o}) - \frac{\bar{r}_n \bar{w}_{00}}{t_o})$$

式(14), (17)を、式(3)に用いると任意点の変位が求まる。なお、開断面の場合 $K_{1j} = 0$ とする。

1)林・前田:土木学会第40回年次学術講演会 1985 I-57 2)前田・林:土木学会構造工学論文集 Vol. 32-A 1986

3)薄木・稼農:土木学会構造工学論文集 Vol. 25-A 1979